

Stabilité non linéaire d'une onde périodique par modulation de phase

Louis GARÉNAUX*

Résumé

Ceci est un compte rendu du travail que j'ai effectué pour le séminaire de master 2. L'objectif était de travailler sur [1], qui étudie un système d'équations type réaction-diffusion avec un terme non linéaire. Il montre que les solutions en ondes périodiques sont asymptotiquement stables. Les estimations sont obtenues en passant par la transformée de Bloch.

Sommaire

1	Introduction	1
2	Transformée de Bloch	2
3	Hypothèses	3
4	Problème linéaire	4
5	Problème non linéaire	6

1 Introduction

On considère un système d'équations de réaction-diffusion

$$w_t = w_{xx} + f(w),$$

où $f : \mathbb{R}^n \rightarrow \mathbb{R}^n$ est une non-linéarité de classe \mathcal{C}^K , et w de $\mathbb{R}_+ \times \mathbb{R}$ vers \mathbb{R}^n est l'inconnue. Plus précisément, on s'intéresse à des solutions de cette équation qui sont des ondes périodiques progressives.

Pour $w(t, x)$ une telle solution se déplaçant à vitesse c , notant $u(t, x) := w\left(\frac{t}{k_*}, \frac{x-ct}{k_*}\right)$ l'onde stationnaire associée, on a

$$(1) \quad k_* u_t = k_*^2 u_{xx} + f(u) + k_* c u_x.$$

Dans la suite, on se fixe une onde stationnaire $\bar{u}(x) := u(t, x)$ dans $H_{\text{per}}^2(0, 1)$. On choisit le nombre d'onde k_* de telle sorte que $\bar{u}(x+1) = \bar{u}(x)$.

On souhaite obtenir un résultat d'équilibre asymptotique : étant donné u solution de (1) proche de \bar{u} , est-ce qu'en temps long $u(t, \cdot)$ converge vers \bar{u} ? La démarche naturelle est de s'intéresser tout d'abord au problème linéarisé en \bar{u}

$$(2) \quad k_* v_t = k_* L v := (k_*^2 \partial_{xx} + k_* \partial_x + b) v,$$

où $b : x \mapsto df(\bar{u}(x))$ est bornée et périodique, et où $L : L^2 \rightarrow L^2$ est un opérateur de domaine dense $\text{Dom}(L) := H^2(\mathbb{R}, \mathbb{R}^n)$.¹ Cette équation a du sens pour $v(t, \cdot) \in \text{Dom}(L)$.

*Rapport de séminaire sous la direction de Luis-Miguel RODRIGUES

1. Remarquons que $L^* = k_*^2 \partial_{xx} - k_* \partial_x + b$, de domaine $H^2(\mathbb{R})$. De même $L^{**} = L$, ce qui implique que L est un opérateur fermé. Voir [5, Prop 2.34 p. 11]

Si l'opérateur L était à coefficients constants, on trouverait une expression de $v(t, \cdot)$ à partir de $v(0, \cdot)$ en utilisant la transformée de Fourier. Ici, le problème linéarisé (2) est à coefficients périodiques, on introduit un outil similaire pour le résoudre. On espère ensuite pouvoir remonter au non linéaire.

2 Transformée de Bloch

Pour $g \in L^1(\mathbb{R})$, on note $\mathcal{F}g(\xi) := \hat{g}(\xi) := \int_{\mathbb{R}} e^{-i\xi x} g(x) dx$ la transformée de Fourier de g . Pour $\xi \in [-\pi, \pi]$ et $x \in [0, 1]$ on note alors

$$\check{g}(\xi, x) := \sum_{j \in \mathbb{Z}} \hat{g}(\xi + 2\pi j) e^{i2\pi j x}$$

la transformée de Bloch de g . On la notera aussi $\mathcal{B}g$, elle se prolonge en une fonction périodique en x .

Proposition 1. Soit $g \in L^2(\mathbb{R})$ tel que $\check{g} \in L^2([-\pi, \pi]_\xi \times [0, 1]_x)$. Alors pour presque tout $x \in \mathbb{R}$ on a la formule d'inversion de Bloch :

$$(3) \quad g(x) = \frac{1}{2\pi} \int_{-\pi}^{\pi} e^{i\xi x} \check{g}(\xi, x) d\xi.$$

Démonstration. Soit pour commencer $g \in \mathcal{S}(\mathbb{R})$. Alors par formule d'inversion de Fourier on a pour tout $x \in \mathbb{R}$

$$g(x) = \frac{1}{2\pi} \int_{\mathbb{R}} e^{ix\xi} \hat{g}(\xi) d\xi = \frac{1}{2\pi} \sum_{j \in \mathbb{Z}} \int_{-\pi}^{\pi} e^{ix(\xi+2\pi j)} \hat{g}(\xi + 2\pi j) d\xi.$$

Puisque $g \in \mathcal{S}(\mathbb{R})$, on peut inverser la somme et l'intégrale, et on reconnaît l'expression voulue. Pour conclure la démonstration, on utilise la densité de $\mathcal{S}(\mathbb{R})$ dans $L^2(\mathbb{R})$ pour faire converger le côté gauche de l'égalité. On traite de même le côté droit en remarquant qu'une inégalité de Hölder donne $\|\check{g}(\cdot, x)\|_{L^1(-\pi, \pi)} \leq \sqrt{2\pi} \|\check{g}(\cdot, x)\|_{L^2(-\pi, \pi)}$. \square

On peut prolonger la transformée de Bloch en une isométrie $L^2(\mathbb{R}) \rightarrow L^2([-\pi, \pi] \times [0, 1])$ à constante $\sqrt{2\pi}$ près, en suivant le même plan de démonstration que dans le cas Fourier. L'hypothèse sur \check{g} dans la proposition précédente est donc superflue.

On introduit en même temps que la transformée de Bloch les opérateurs de Floquet. Pour $\xi \in [-\pi, \pi]$ on note²

$$L_\xi g := e^{-i\xi x} L(e^{i\xi x} g).$$

C'est un opérateur $L^2(0, 1) \rightarrow L^2(0, 1)$ de domaine $H_{\text{per}}^2(0, 1)$.³ Un calcul direct permet d'établir qu'à ξ fixé on a

$$L_\xi = k_*^2(i\xi + \partial_x)^2 + k_*(i\xi + \partial_x) + b(x).$$

Proposition 2. Soit $\xi \in [-\pi, \pi]$ fixé. Alors pour $g \in \text{Dom}(L)$ on a

$$\mathcal{B}(Lg)(\xi, x) = L_\xi(\check{g}(\xi, \cdot))(x)$$

Démonstration. Pour $L = \partial_x$, un calcul simple permet de conclure.

Pour $L = b$, le côté droit de l'égalité s'écrit $e^{-i\xi x} b(x) e^{i\xi x} \check{g}(\xi, x) = b(x) \check{g}(\xi, x)$. On développe le côté gauche

$$\mathcal{B}(bg)(\xi, x) = \sum_{j \in \mathbb{Z}} \widehat{gb}(\xi + 2\pi j) e^{i2\pi j x} = \sum_{j \in \mathbb{Z}} \sum_{n \in \mathbb{Z}} \widehat{b}_n \mathcal{F}(g e^{i2\pi n \cdot})(\xi + 2\pi j) e^{i2\pi j x},$$

où \widehat{b}_n est le n -ème coefficient de Fourier de la fonction périodique b . On l'écrit

$$\mathcal{B}(bg)(\xi, x) = \sum_{j \in \mathbb{Z}} \sum_{n \in \mathbb{Z}} \widehat{b}_n \widehat{g}(\xi + 2\pi j - 2\pi n) e^{i2\pi j x} = \sum_{n \in \mathbb{Z}} \widehat{b}_n e^{i2\pi nx} \times \check{g}(\xi - 2\pi n, x) e^{-i2\pi nx}.$$

². Ici on voit L comme un opérateur défini sur $H^2(0, 1)$.

³. $H_{\text{per}}^2(0, 1) := \{g \in H^2(0, 1) \mid g(0) = g(1), g'(0) = g'(1)\}$

Un changement de variable discret donne $\check{g}(\xi - 2\pi n, x)e^{-i2\pi nx} = \check{g}(\xi, x)$ que l'on peut sortir de la somme pour obtenir $\mathcal{B}(bg)(\xi, x) = b(x)\check{g}(\xi, x)$. \square

Proposition 3. On note $(e^{tL})_t$ le semi-groupe dont L est le générateur. Alors on a

$$\mathcal{B}(e^{tL}g)(\xi, x) = (e^{tL_\xi}\check{g}(\xi, \cdot))(x).$$

Démonstration. On admet qu'on peut définir les semi-groupes associés à L et aux L_ξ . Pour ξ fixé, il existe une unique solution de $v_t = L_\xi v$ avec condition initiale $v(0, x) = \check{g}(\xi, x)$. Or d'après la proposition précédente, on a

$$\partial_t \mathcal{B}(e^{tL}g) = \mathcal{B}(\partial_t e^{tL}g) = \mathcal{B}(L e^{tL}g) = L_\xi \mathcal{B}(e^{tL}g).$$

\square

Ce qui précède nous assure que la solution de l'équation (2) s'écrit après inversion de Bloch

$$(4) \quad (S(t)g)(x) := (e^{tL}g)(x) = \frac{1}{2\pi} \int_{-\pi}^{\pi} e^{i\xi x} e^{tL_\xi} \check{g}(\xi, \cdot)(x) d\xi.$$

Faisons un rapide parallèle avec le cas plus simple où L serait à coefficients constants. On aurait remplacé la transformée de Bloch par celle de Fourier, pour obtenir une expression similaire à (4).

$$(5) \quad S(t)g(x) = \frac{1}{2\pi} \int_{\mathbb{R}} e^{i\xi x} (e^{t\ell} \hat{g})(\xi) d\xi,$$

où $\ell := \mathcal{F}L$ est le symbole obtenu après passage en Fourier. Dans des cas simples comme l'équation de la chaleur, on sait calculer la transformée de Fourier inverse de $e^{t\ell} = e^{-t\xi^2}$, et donc expliciter l'intégrale dans (5).

3 Hypothèses

Variété des équilibres Un problème à envisager est que notre équilibre \bar{u} n'est pas isolé. Dans ce cas, une perturbation $u(t, x)$ peut elle-même être un équilibre, qui ne convergera pas vers \bar{u} . Par un décompte de degrés de liberté,⁴ on devine que l'ensemble des ondes stationnaires est de dimension 2, paramétré par un déphasage et une vitesse de propagation. Plus clairement, on suppose que notre problème satisfait aux hypothèses suivantes.⁵

(H1) La non-linéarité f est de classe \mathcal{C}^K avec $K \geq 3$,

(H2) Quitte à translater en espace, l'ensemble des ondes stationnaires solutions de (1) (où k_* est remplacé par k pour conserver une période 1) est une variété lisse de dimension 1 paramétrée par $k : M = \{\bar{u}^k\}$ avec $\bar{u}^{k_*} = \bar{u}$. On note $c(k)$ la vitesse de l'onde progressive associée à \bar{u}^k .

Cette deuxième hypothèse va donc contraindre notre manière de décrire comment \bar{u} est « asymptotiquement stable ».

Spectre de L et des L_ξ Une autre question importante est celle du spectre de L . Ici, il est à coefficients périodiques et la théorie de Floquet montre que son spectre est essentiel. Si on pouvait construire une fonction propre de L dans L^2 , elle serait soit de norme constante (cas d'une partie réelle nulle), soit exploserait en $\pm\infty$. Voir [3, p. 67].

Au contraire, les L_ξ ont des spectres discrets puisqu'ils sont à résolvante compacte.⁶

De plus, on a⁷

$$(6) \quad \sigma(L) = \bigcup_{\xi \in [-\pi, \pi]} \sigma(L_\xi).$$

4. L'équation (2) ainsi que la périodicité de \bar{u} , voir [2].

5. Voir aussi [3, p. 86], même si l'opérateur considéré n'est pas périodique mais asymptotiquement constant.

6. L'injection $(H^2_{\text{per}}(0, 1), \|\cdot\|_{L_\xi}) \rightarrow (L^2(0, 1), \|\cdot\|_{L^2})$ est compacte par théorème de Rellich.

7. Voir [3, pp. 69 et 240].

On peut donc écrire $\sigma(L)$ comme une union au plus dénombrable de courbes paramétrées par ξ .

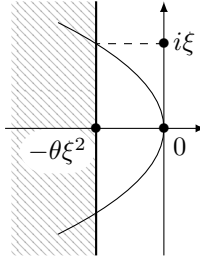
Pour qu'une solution de $v_t = Lv$ décroisse en temps long, il est donc naturel vu l'expression intégrale (4) de supposer que le spectre de L_ξ soit de partie réelle strictement négative. D'après (6), il faut que ce soit aussi le cas du spectre de L . Malheureusement, dériver (1) par rapport à x montre que \bar{u}' est une fonction propre de L_0 pour la valeur propre 0.

On suppose donc les hypothèses suivantes de *stabilité spectrale de diffusion* vérifiées.

(D1) $\sigma(L) \subset \{\lambda \in \mathbb{C} \mid \Re \lambda < 0\} \cup \{0\}$,

(D2) Il existe $\theta > 0$ tel que pour tout $\xi \in [-\pi, \pi]$ on ait $\sigma(L_\xi) \subset \{\lambda \in \mathbb{C} \mid \Re \lambda \leq -\theta \xi^2\}$,

(D3) $\lambda = 0$ est valeur propre simple de L_0 .



L'hypothèse (D2) assure que les courbes qui composent le spectre de L sont décollées de $i\mathbb{R}^*$.

L'hypothèse (D3) permet de contrôler la situation en 0.

Valeurs propres, fonctions propres On a déjà vu que L_0 admet $\lambda(0) := 0$ comme valeur propre simple, de fonction propre $\phi(0, \cdot) := \bar{u}'$. On admet qu'on peut définir $\lambda(\xi)$ et $\phi(\xi, \cdot)$, valeurs et fonctions propres de L_ξ , analytiques en ξ au voisinage de 0. Voir [4]. On note $[-\xi_0, \xi_0]$ un tel voisinage.

4 Problème linéaire

On décompose l'opérateur de solution à l'aide d'une fonction plateau α , à valeurs dans $[0, 1]$, telle que $\alpha(\xi) = 1$ pour $|\xi| \leq \frac{\xi_0}{2}$ et $\alpha(\xi) = 0$ pour $|\xi| \geq \xi_0$. On commence par noter

$$S^P := \bar{u}' s^P(t) \quad \text{où} \quad s^P(t)g(x) := \int_{-\pi}^{\pi} e^{i\xi x} \alpha(\xi) e^{\lambda(\xi)t} \langle \tilde{\phi}(\xi, \cdot), \check{g}(\xi, \cdot) \rangle_{L^2(0,1)} d\xi,$$

où $\tilde{\phi}$ est choisi tel que $\Pi^P(\xi)\check{g}(\xi, \cdot) := \phi(\xi, \cdot) \langle \tilde{\phi}(\xi, \cdot), \check{g}(\xi, \cdot) \rangle_{L^2(0,1)}$ soit la projection sur l'espace propre $\text{Vect}\{\phi(\xi, \cdot)\}$.

On note ensuite $\tilde{S}(t)$ le terme correctif de sorte qu'on ait

$$2\pi S(t) = S^P(t) + \tilde{S}(t).$$

On décompose ce deuxième terme en trois parties :

$$\begin{aligned} \tilde{S}(t)g(x) &:= \int_{-\pi}^{\pi} e^{i\xi x} (1 - \alpha(\xi)) (e^{tL_\xi} \check{g}(\xi, \cdot))(x) d\xi + \int_{-\pi}^{\pi} e^{i\xi x} \alpha(\xi) (e^{tL_\xi} \tilde{\Pi}(\xi) \check{g}(\xi, \cdot))(x) d\xi \\ &\quad + \int_{-\pi}^{\pi} e^{i\xi x} \alpha(\xi) e^{\lambda(\xi)t} (\phi(\xi, x) - \phi(0, x)) \langle \tilde{\phi}(\xi, \cdot), \check{g}(\xi, \cdot) \rangle_{L^2(0,1)} d\xi, \end{aligned}$$

où on a noté $\tilde{\Pi}(\xi) := \text{id} - \Pi(\xi)$ la projection parallèlement à l'espace propre. Remarquons que la troisième partie a permis de faire apparaître un \bar{u}' dans S^P .

On va traiter différemment chacun de ces deux termes pour établir les majorations qui nous intéressent.

Proposition 4 – Inégalité de Hausdorff-Young généralisée. Soit $p \in [2, +\infty]$, et q son exposant conjugué. On note $C = (2\pi)^{-\frac{1}{q}}$. Alors pour tout $u \in L^p(\mathbb{R})$ on a $\|u\|_{L^p(\mathbb{R})} \leq C \|\check{u}\|_{L^q([- \pi, \pi], L^p(0,1))}$.

En particulier pour $g(\xi, \cdot)$ fonction 1-périodique, on a

$$\left\| \int_{-\pi}^{\pi} e^{i\xi x} g(\xi, \cdot) d\xi \right\|_{L^p(\mathbb{R})} \leq C \|g\|_{L^q([-\pi, \pi], L^p(0,1))}.$$

Démonstration. Rappelons qu'on note

$$\|\check{u}\|_{L^q([-\pi, \pi], L^p(0,1))} := \left(\int_{-\pi}^{\pi} \|\check{u}(\xi, \cdot)\|_{L^p(0,1)}^q d\xi \right)^{\frac{1}{q}}.$$

Il suffit de montrer le résultat pour $p = 2$ et $p = \infty$ pour conclure par convexité.⁸

Pour $p = \infty$, une inégalité de Hölder appliquée à la formule d'inversion de Bloch (3) donne $2\pi \|u\|_{L^\infty(\mathbb{R})} \leq \|\check{u}\|_{L^1([-\pi, \pi], L^\infty(0,1))}$.

Pour $p = 2$, on a égalité : comme rappelé plus haut, la transformée de Bloch est une isométrie de L^2 à constante $\sqrt{2\pi}$ près.⁹

Pour la deuxième inégalité, on remarque que par inversion de Bloch il existe $u \in L^2(\mathbb{R})$ tel que $g = \check{u}$, auquel on applique la première inégalité. \square

Dans ce qui suit, on note $a \lesssim b$ s'il existe une constante C telle que pour tout $x \in \text{Dom}(a) \cap \text{Dom}(b)$, on ait $a(x) \leq C b(x)$.

Proposition 5. Sous les hypothèses (H1)-(H2) et (D1)-(D3), pour $t > 0$, $p \in [2, \infty]$ et notant q l'exposant conjugué on a

$$(7) \quad \left\| \partial_x^l \partial_t^m s^p(t) \partial_x^r g \right\|_{L^p(\mathbb{R})} \lesssim \min \begin{cases} (1+t)^{-\frac{1}{2q} - \frac{l+m+r}{2}} \|g\|_{L^1(\mathbb{R})} \\ (1+t)^{-\frac{1}{2q} + \frac{1}{4} - \frac{l+m+r}{2}} \|g\|_{L^2(\mathbb{R})} \end{cases}.$$

De plus il existe $\eta > 0$ tel que pour $r, l+2m \in \llbracket 0, K+1 \rrbracket$ on ait

$$(8) \quad \left\| \partial_x^l \partial_t^m \tilde{S}(t) \partial_x^r g \right\|_{L^p(\mathbb{R})} \lesssim \min \begin{cases} (1+t)^{-\frac{1}{2q} - \frac{l+m}{2}} \|g\|_{L^1(\mathbb{R}) \cap H^{l+2m+1}(\mathbb{R})} \\ e^{-\eta t} \|\partial_x^r g\|_{H^{l+2m+1}(\mathbb{R})} + (1+t)^{-\frac{1}{2q} + \frac{1}{2} - \frac{l+m}{2}} \|g\|_{L^2(\mathbb{R})} \end{cases}.$$

Démonstration – [1].

1. Démonstration de (7)(i). On commence par le cas $l = m = r = 0$. En développant \check{g} on trouve

$$(9) \quad \begin{aligned} (s^p(t)g)(x) &= \int_{-\pi}^{\pi} \alpha(\xi) e^{t\lambda(\xi)} e^{i\xi x} \langle \tilde{\phi}(\xi), \check{g}(\xi) \rangle_{L^2(0,1)} d\xi \\ &= \int_{-\pi}^{\pi} \sum_{j \in \mathbb{Z}} \alpha(\xi) e^{t\lambda(\xi)} e^{i\xi x} \hat{g}(\xi + 2\pi j) \langle \tilde{\phi}(\xi, \cdot), e^{i2\pi j \cdot} \rangle_{L^2(0,1)} d\xi \\ &= \int_{-\pi}^{\pi} \sum_{j \in \mathbb{Z}} \alpha(\xi) e^{t\lambda(\xi)} e^{i\xi x} \hat{g}(\xi + 2\pi j) \hat{\phi}_j(\xi)^* d\xi, \end{aligned}$$

où on a noté $\hat{\phi}_j(\xi)$ le j -ème coefficient de Fourier de la fonction périodique $\tilde{\phi}(\xi, \cdot)$, et où $z^* := \bar{z}$ est la conjugaison complexe.

Par formule d'inversion de Fourier $\|\hat{g}\|_{L^\infty(\mathbb{R})} \lesssim \|g\|_{L^1(\mathbb{R})}$, et par (D2) il existe $\eta > 0$ tel que $|e^{t\lambda(\xi)} \alpha(\xi)^{1/2}| \leq e^{-\eta t \xi^2}$. De plus par Cauchy-Schwarz

$$\alpha(\xi)^{1/2} \sum_{j \in \mathbb{Z}} |\hat{\phi}_j(\xi)| \leq \alpha(\xi)^{1/2} \left(\sum_j (1 + |j|^2) |\hat{\phi}_j(\xi)|^2 \sum_j (1 + |j|^2)^{-1} \right)^{\frac{1}{2}} \lesssim \alpha(\xi)^{1/2} \|\tilde{\phi}(\xi)\|_{H^1(0,1)}.$$

On applique l'inégalité de Hausdorff-Young (4) à l'expression (9), puis les trois majorations précédentes :

8. On applique le théorème de Riesz-Thorin.

9. Se démontre en suivant la preuve du théorème de Plancherel.

dentés pour obtenir

$$(10) \quad \begin{aligned} \|s^P(t)g\|_{L^p(\mathbb{R})} &\lesssim \left\| \sum_{j \in \mathbb{Z}} \alpha(\xi) e^{t\lambda(\xi)} e^{i\xi x} \hat{g}(\xi + 2\pi j) \hat{\tilde{\phi}}_j(\xi)^* \right\|_{L^q([-\pi, \pi], L^p(0, 1))} \\ &\lesssim \|g\|_{L^1(\mathbb{R})} \|e^{-t\eta\xi^2}\|_{L^q([-\pi, \pi]_\xi)} \sup_{|\xi| \leq \xi_0} \|\tilde{\phi}(\xi, \cdot)\|_{H^1(0, 1)}. \end{aligned}$$

On a majoré grossièrement l'intégrale en x par 1, et on fait porter celle en ξ sur l'exponentielle.

Finalement, une majoration grossière ainsi que le changement de variable $u = t^{1/2}\xi$ donnent

$$\int_{-\pi}^{\pi} \left(e^{-\eta\xi^2 t} \right)^q d\xi \lesssim \min(1, t^{-1/2}),$$

que l'on réinjecte dans (10) pour obtenir

$$\|s^P(t)g\|_{L^p(\mathbb{R})} \lesssim (1+t)^{-\frac{1}{2q}} \|g\|_{L^1(\mathbb{R})}.$$

Dans le cas où $r \neq 0$, on transforme dans (9) le $\mathcal{F}(\partial_x^r g)$ en $(i\xi)^r \hat{g}$. De même si $l, m \neq 0$, on voit sur l'expression (9) que $\partial_x^l \partial_t^m$ ne fait apparaître qu'un $\lambda(\xi)^m (i\xi)^l$. On utilise plutôt la majoration $|\xi^{r+l} \lambda(\xi)^m e^{t\lambda(\xi)} \alpha(\xi)^{1/2}| \lesssim |\xi|^{l+m+r} e^{-\eta t \xi^2}$, et le même changement de variable que précédemment donne $\|\xi^{l+m+r} e^{-\eta t \xi^2}\|_{L^q(-\pi, \pi)} \lesssim \min\left(1, t^{-\frac{1}{2q} - \frac{1}{2}(l+m+r)}\right)$.

2. Démonstration de (7)(ii). On suit le même schéma de preuve. Pour $l = m = r = 0$ Hausdorff-Young (4) fourni

$$(11) \quad \begin{aligned} \|(s^P(t)g)(x)\|_{L^p(\mathbb{R})} &\lesssim \|\alpha(\xi) e^{-\eta t \xi^2} |\langle \tilde{\phi}(\xi), \check{g}(\xi) \rangle_{L^2(0, 1)}| \|_{L^q([-\pi, \pi], L^p(0, 1))} \\ &\lesssim \|e^{-\eta t \xi^2} |\langle \tilde{\phi}(\xi), \check{g}(\xi) \rangle_{L^2(0, 1)}| \|_{L^q(-\pi, \pi)} \\ &\lesssim \|e^{-\eta t \xi^2} \|\check{g}(\xi)\|_{L^2(0, 1)}\|_{L^q(-\pi, \pi)} \end{aligned}$$

par Cauchy-Schwarz sur le produit scalaire. On force l'apparition de $\|\check{g}\|_{L^2([-\pi, \pi], L^2(0, 1))} \lesssim \|g\|_{L^2(\mathbb{R})}$ en choisissant $r_1 \geq 1$ tel que $qr_1 = 2$. Pour r_2 tel que $1/r_1 + 1/r_2 = 1$ on a $r_2 q = \frac{2q}{2-q}$ et par Hölder

$$\begin{aligned} \|(s^P(t)g)(x)\|_{L^p(\mathbb{R})} &\lesssim \|e^{-\eta t \xi^2}\|_{L^{r_2 q}(-\pi, \pi)} \|\check{g}\|_{L^{r_1 q}([-\pi, \pi], L^2(0, 1))} \\ &\lesssim (1+t)^{-\frac{1}{2r_2 q}} \|g\|_{L^2(\mathbb{R})} \\ &\lesssim (1+t)^{-\frac{1}{2q} + \frac{1}{4}} \|g\|_{L^2(\mathbb{R})}. \end{aligned}$$

Pour les cas où $l, m, r \neq 0$, on procède comme dans l'étape précédente.

3. Les démonstrations de (8)(i) et (8)(ii) sont détaillées dans [1]. □

Cette proposition contrôle les perturbations du problème linéaire. Comme dit précédemment, on veut regarder une solution de (1) à déphasage près. Pour pouvoir remonter au problème non linéaire, on doit aussi majorer les perturbations en déphasage. Sont obtenues dans [1] des majorations de $\|S(t)(\psi_0 \bar{u}')\|_{L^p(\mathbb{R})}$ par des termes de la forme $h(t) \|\partial_x \psi_0\|_X$, où h tend vers 0 en temps long.

5 Problème non linéaire

Soit $\tilde{u}(t, x)$ solution de (1), perturbation de \bar{u} . On se fixe un déphasage $\psi(t, x)$ et on note

$$(12) \quad u(t, x) := \tilde{u}(t, x - \psi(t, x)), \quad \text{puis} \quad v(t, x) := u(t, x) - \bar{u}(x)$$

l'erreur non linéaire associée. On mesure donc l'écart entre \tilde{u} et \bar{u} en déphasant \tilde{u} . Ce choix permet d'obtenir le résultat qui suit.

Proposition 6. Avec les notations (12), l'erreur non linéaire v vérifie

$$k_*(\partial_t - L)(v + \psi \bar{u}') = k_* \mathcal{N},$$

où le terme quadratique $k_* \mathcal{N} := \mathcal{Q} + \mathcal{R}_x + (k_* \partial_t + k_*^2 \partial_{xx}) \mathcal{S} + \mathcal{T}$ est défini par

$$\begin{aligned} \mathcal{Q} &:= f(v + \bar{u}) - f(\bar{u}) - df(\bar{u})v, & \mathcal{R} &:= -k_* v \psi_t - k_*^2 v \psi_{xx} + k_*^2 (\bar{u}' + v_x) \frac{\psi_x^2}{1 - \psi_x}, \\ \mathcal{S} &:= v \psi_x, & \mathcal{T} &:= -(f(v + \bar{u}) - f(\bar{u})) \psi_x. \end{aligned}$$

Pour conclure sur le théorème 7, on a besoin de faire décroître \mathcal{N} . Si on choisit de déphaser \bar{u} , on fait apparaître dans \mathcal{N} des termes contenant le déphasage ψ , qu'on ne peut pas faire tendre vers 0. Le choix de déphasier u ne fait apparaître que des dérivées de ψ . Par des majorations non linéaires, il est possible de les faire tendre vers 0 en temps long.

L'étude linéaire permet de contrôler $v + \psi \bar{u}'$. Un choix judicieux de ψ , puis les majorations linéaires et non linéaires permettent de construire globalement la solution u et le déphasage ψ . On obtient à terme le théorème suivant.

Théorème 7. On suppose que (H1)-(H2) et (D1)-(D3) sont vérifiées. Soit \tilde{u}_0 et ψ_0 conditions initiales telles que

$$E_0 := \|\tilde{u}_0(\cdot - \psi_0(\cdot)) - \bar{u}(\cdot)\|_{L^1(\mathbb{R}) \cap H^K(\mathbb{R})} + \|\partial_x \psi_0\|_{L^1(\mathbb{R}) \cap H^K(\mathbb{R})}$$

soit suffisamment petit. Alors il existe $\tilde{u}(t, x)$ solution globale de (1) et un déphasage $\psi(t, x)$, de conditions initiales respectives \tilde{u}_0 et ψ_0 , tels que pour $p \in [2, \infty]$ et $t > 0$ on ait

$$\begin{aligned} \|\tilde{u}(t, \cdot - \psi(t, \cdot)) - \bar{u}(\cdot)\|_{L^p(\mathbb{R})}, \quad \|\nabla_{t,x} \psi(t, \cdot)\|_{W^{K+1,p}(\mathbb{R})} &\lesssim E_0 (1+t)^{-\frac{1}{2q}}, \\ \|\tilde{u}(t, \cdot - \psi(t, \cdot)) - \bar{u}(\cdot)\|_{H^K(\mathbb{R})} &\lesssim E_0 (1+t)^{-\frac{1}{4}}, \end{aligned}$$

où q est l'exposant conjugué de p , et

$$\|\tilde{u}(t, \cdot) - \bar{u}(\cdot)\|_{L^\infty}, \quad \|\psi(t, \cdot)\|_{L^\infty(\mathbb{R})} \lesssim E_0.$$

En particulier, \bar{u} est $L^\infty(\mathbb{R})$ -stable par rapport à une perturbation initiale $v_0 := \tilde{u}_0 - \bar{u}$ telle que $\|v_0\|_E := \inf_{\partial_x h_0 \in L^1(\mathbb{R}) \cap H^K(\mathbb{R})} E_0$ soit suffisamment petite.

Références

- [1] M. A. JONHSON, P. NOBLE, L. M. RODRIGUES, and K. ZUMBRUN. Nonlinear stability of periodic reaction diffusion waves : nonlinear stability. 2012.
- [2] M. A. JONHSON and K. ZUMBRUN. Nonlinear stability of spatially-periodic traveling-wave solutions of systems of reaction-diffusion equations.
- [3] T. KAPITULA and K. PROMISLOW. *Spectral and dynamical stability of nonlinear waves*. Springer-Verlag New York, 2013.
- [4] T. KATO. *Perturbation theory for linear operators*. Springer, 1995.
- [5] N. RAYMOND. Notes de cours : Element of spectral theory. <https://nraymond.perso.math.cnrs.fr/spectral-theory.pdf>.